

## Bi 첨가량에 따른 BLT 박막의 유전특성

### Dielectric properties of $\text{Bi}_{0.25}\text{La}_{0.75}\text{Ti}_3\text{O}_{12}$ thin films with Bi contents

김경태<sup>\*</sup>, 김창일<sup>†</sup>, 강동희<sup>‡</sup>, 심일운<sup>§</sup>  
(Kyoung-Tae Kim<sup>\*</sup>, Chang-Il Kim<sup>†</sup>, Dong-Hee Kang<sup>‡</sup>, Il-Wun Shim<sup>§</sup>)

#### Abstract

Bismuth lanthanum titanate thin films with excess Bi contents were prepared onto Pt/Ti/SiO<sub>2</sub>/Si substrate by metalorganic decomposition (MOD) technique. The structure and morphology of the films were analyzed using X-ray diffraction (XRD) and atomic force microscopy (AFM), respectively. From the XRD analysis, BLT thin films show polycrystalline structure and the layered-perovskite phase was obtained over 10% excess of Bi contents. As a result of ferroelectric characteristics related to the Bi content of the BLT thin film, the remanent polarization and dielectric constant decreased with increasing over Bi content of 10 % excess. The BLT film with Bi content of 10% excess was measured to have a dielectric constant of 279 and dielectric loss of 1.85[%]. The BLT thin films showed little polarization fatigue test up to  $3.5 \times 10^9$  bipolar switching cycling.

**Key Words :** BLT, FeRAM, MOD, Bi-layer structured perovskite

#### 1. 서 론<sup>1)</sup>

최근 전원의 공급이 없어도 테이터의 손상이 없는 비휘발성 메모리로서 FRAM (ferroelectric random access memories) 소자가 주목받고 있다. 비휘발성 소자는 비휘발성 특성, 빠른 동작속도, 저전압 동작 등의 장점을 나타내고 있어 휴대용 정보통신기기, ID-card, 게임기, 가전제품 등의 다양한 용도로 이용 가능하다. 이러한 FRAM 소자의 커패시터의 유전체로 연구되어지고 있는 물질은 강유전 특성을 가지고 있는 유전 물질이다.[1]. 현재 비휘발성 강유전 메모리 소자의 응용은 PZT계 강유전체 물질이 많이 연구 되어 왔다. 그러나 비휘발성

기억소자로 사용되기 위해서는 소자의 구동에 대한 논리상태 보존의 안정성이 요구된다. PZT 박막은 Pt 전극을 사용했을 경우 제품의 수명과 관련된 분극 피로(fatigue), imprint, retention 등의 저하가 발생하는 문제점을 가지고 있다. 이를 해결하기 위해 산화물전극 ( $\text{IrO}_2$ ,  $\text{RuO}_2$ )을 이용하여 피로 특성 등을 향상시키려는 연구가 진행되고 있다. 그러나 산화물 전극은 전기전도도가 낮고, RC 시정수가 높아지며, 이차 비 강유전상을 만드는 문제점이 있다. 최근, 이런 문제점을 해결하기 위해 비스무스계 층상 페로브스카이트 (Bi-layer structured perovskite) 구조를 가지는  $\text{SrBi}_2\text{Ta}_2\text{O}_9$  (SBT),  $\text{Bi}_4\text{Ti}_3\text{O}_{12}$  (BTO) 등이 활발히 연구가 진행되어지고 있다[2]. SBT 박막은 분극 피로가 거의 없는 강유전체이므로 FRAM 소자로의 응용 가능성에 대해 많은 연구가 진행되고 있으나, SBT 박막은 높은 공정온도 ( $750\sim850^\circ\text{C}$ )가 요구되어 메모리 소자 제조기술에 적용하기에는 부적합한 단점을 가지고

\*중앙대학교 전기전자공학부  
(서울 동작구 흑석동 221,  
Fax: 02-812-9651  
E-mail : [cikim@cau.ac.kr](mailto:cikim@cau.ac.kr)  
\*\*중앙대학교 화학과

있다. BTO 박막은 열처리에 의한  $(Bi_2O_3)^{2+}$  층 사이의 Bi 이온의 휘발로 인한 층상 구조의 불안정성으로 피로 특성을 나타내며, 잔류 분극량이 작다는 단점을 가지고 있다. 최근 분극 피로가 적고, 비교적 낮은 공정온도 650°C에서도 증착이 가능하며, SBT 박막 보다 큰 잔류 분극값을 가지는 BTO의 Bi<sup>3+</sup>이온을 La<sup>3+</sup> 이온으로 치환하는  $Bi_{3.25}La_{0.75}Ti_3O_{12}$  (BLT) 박막에 대한 연구가 진행되고 있다[3]. 그러나 Bi는 박막 제조 과정에서 발생하는 결정화 열처리 시에 휘발하는 특성을 나타내어 Bi를 과잉으로 첨가해야 한다. 본 연구는 Pt/Ti/SiO<sub>2</sub>/Si 기판 위에 과잉 Bi 함량에 따른 BLT 박막을 제조하여 박막의 구조 및 강유전 특성을 관찰하여 비휘발성 메모리 소자의 응용 가능성을 연구하고자 한다.

## 2. 실험

BLT 용액을 합성하기 위해서 CSD (chemical liquid deposition) 법의 일종인 MOD (metalorganic decomposition) 법을 이용하였다. 출발원료로 bismuth(III)-acetate [(CH<sub>3</sub>CO<sub>2</sub>)<sub>3</sub>Bi], lanthanum-acetate hydrate(CH<sub>3</sub>CO<sub>2</sub>)<sub>3</sub>La · xH<sub>2</sub>O, titanium iso-propoxide [Ti(OCH(CH<sub>3</sub>)<sub>2</sub>)<sub>4</sub>]을 사용하였다. bismuth(III)-acetate와 lanthanum acetate의 용매로는 acetic acid, titanium iso-propoxide의 용매로는 ethylen glycol의 일종인 2-methoxyethanol을 사용하였다. 본 실험에서는 다른 첨가제나 촉매 없이 acetate를 용해시킬 수 있었다. 먼저,  $Bi_{4-x}La_xTi_3O_{12}$  [ $x=0.75$ ] 조성식에 따라 평량을 하였으며, Bi-acetate를 0~30% 과잉 첨가하여 용액을 각각 제조하여 사용하였다. BLT 박막의 제조에 사용된 기판은 p형 (100) 실리콘 웨이퍼이며, 실리콘 웨이퍼 위에 Ti (50nm)와 Pt (150nm)를 스퍼터링 법을 이용하여 같은 반응로 안에서 연속적으로 증착하여 제작하였다. BLT 용액을 스펀 코팅법을 이용하여 3500 rpm의 회전속도로 30초 동안 코팅한 후, 박막 내에 존재하는 유기물을 제거하기 위해 hot plate를 이용하여 350 °C에서 수분간 건조하였으며, 이 과정을 수회 반복하여 전조과정에서 생길 수 있는 pin hole을 최소화하였다. 수회 코팅 및 건조된 BLT 박막은 박막의 치밀화와 결정화를 위해 전기로를 이용하여 금속 열처리(rapid firing) 방법으로 대기압의 산소 분위기에서 650°C에서 1시간동안 열처리하여 약 200 nm의 BLT 박막을 최종적으로 제작하였다. 강유전 특성 및 전기적 특성분석을 위하여 열처리 공정을 거친 BLT 박막을 직경이 0.3 mm인 새도우 마스

크를 이용하여 DC 스퍼터링 방법으로 백금을 중착하여 상부전극으로 사용하였다. 중착된 박막의 결정구조를 확인하기 위하여 X-ray diffraction (XRD-Rigaku, RTP 300 RC)을 사용하였고, Bi 함량에 따른 BLT 박막의 표면 미세구조 및 박막 표면의 거칠기 및 굴곡 상태를 원자 탐침 현미경 (AFM)을 이용하여 관찰하였으며, BLT 박막내의 Bi 함량을 전자 현미경분석기 (EPMA)를 이용하여 측정하였으며, 박막 깊이에 따른 성분 원소의 분포와 계면에서의 각 원소의 분포 상태를 AES(Auger electron spectroscopy)를 이용하여 분석하였다. 전류-전압 특성은 HP 4145B semiconductor parameter analyzer을 사용하여 측정하였다. BLT 박막의 유전상수 및 유전손실은 HP4192 impedance analyzer를 사용하였으며, 박막의 이력특성은 precision workstation (Radiant Technologies, USA)을 사용하였다. 이력곡선은 각각의 박막을 1~10V 인가 전압 하에서 관찰하였으며, 피로특성은 각각의 박막에  $3.5 \times 10^9$  bipolar switching cycling 인가하여 측정하였다.

## 3. 결과 및 고찰

그림 1은 Bi 첨가량에 따른 BLT 박막의 XRD 패턴을 나타낸 것이다. BLT의 XRD 회절패턴은  $Bi_4Ti_3O_{12}$ 의 표준 분말 회절 데이터를 이용하여 분석하였다. Bi 과잉 함량이 0% 을 제외한 박막에서

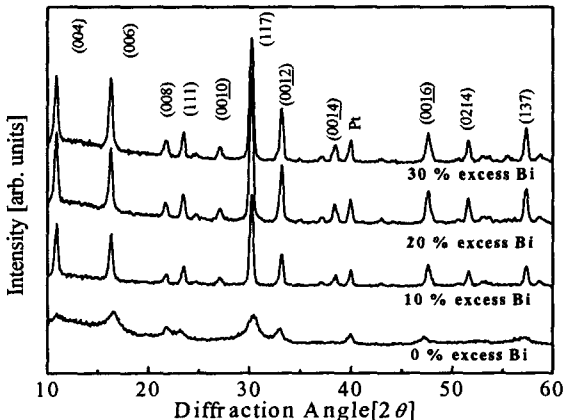


그림 1. Bi 과잉 함량에 따른 BLT 박막의 X선 회절 패턴

Fig. 1. X-ray diffraction patterns of BLT thin films with Bi excess contents.

는 전형적인 Bi-총상 페로브스카이트 구조를 나타내었고, Bi 과잉 함량이 0% 이상이 박막의 회절 패턴은  $\text{Bi}_4\text{Ti}_3\text{O}_{12}$  회절 피크와 일치하는 결과를 통해 결정성장 상태를 확인하였다. Bi 과잉 함량이 10% 이상에서 얻어진 BLT 박막은 다결정 형태로 성장함을 알 수 있었다. 그러나 Bi 과잉 함량이 0% 인 경우에는 Bi-총상 페로브스카이트 구조로의 전이가 일부 일어났지만, 완전하게는 일어나지 않았다. 이는 Bi-총상 페로브스카이트 구조를 이루는  $(\text{Bi}_2\text{O}_2)^{2+}$  구조의 변화에 의해 발생하여 박막 형성 초기에 충분한 씨앗층 역할을 하지 못하여 나타나는 것으로 판단된다. Bi 과잉 함량이 10% 이상인 경우에는 XRD 회절패턴을 고찰하면 피크가 약간 증가하였다. 이는 박막 형성 초기에 충분한 씨앗층을 형성하여 Bi-총상 페로브스카이트상으로 상전이가 일어난 것으로 판단된다.

그림 2는 전자 현미경 분석기를 이용하여 Bi 첨가량에 따른 BLT 박막의 Bi 함량을 나타내었다. 모든 BLT 박막의 다른 원소들 즉, La, Ti들은 화학량론적으로 비슷한 특성을 나타내었다. Bi 과잉 함량이 10% 인 경우에는 화학량론과 일치하는 경향을 나타내었으며, Bi 과잉 함량이 0% 인 경우에는 비화학량론적 특성을 나타내었다. 이는 급격한 열처리에 따른 Bi 원소의 휘발에 의한 것으로 판단되며, Bi 과잉 함량이 10% 이상인 경우에는 과잉 Bi를 나타내었다. 이는 박막 내부에  $\text{BiO}$ 와 같은 이차상과 같은 결합을 증가시키는 요인으로 작용하여 전기적 특성에 영향을 줄 것으로 판단된다.

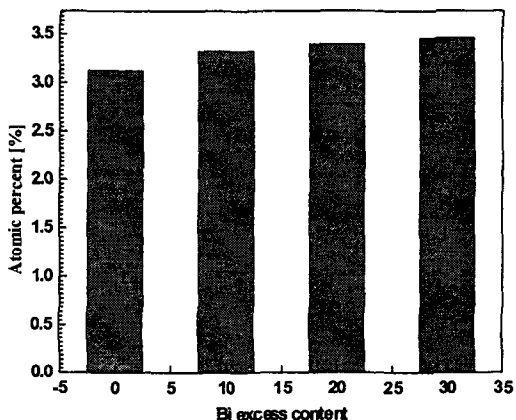


그림 2. Bi 과잉 함량에 따른 BLT 박막의 Bi 함량

Fig. 2. Bi contents of BLT thin films with Bi excess contents.

그림 3은 Bi 첨가량에 따른 BLT 박막의 AFM 표면 사진을 나타내었다. Bi 과잉 함량이 0% 인 경우를 제외하고 모든 박막에서 균열이 없는 치밀한 결정구조를 나타내었으며, Bi 과잉 함량이 0% 인 경우에는 그림 1 및 2에서 관찰하였듯이 Bi가 부족하여 결정화 되지 못하는 구조를 나타내었다. 이는 낮은 유전상수 및 잔류분극을 나타낼 것으로 예측할 수 있다.

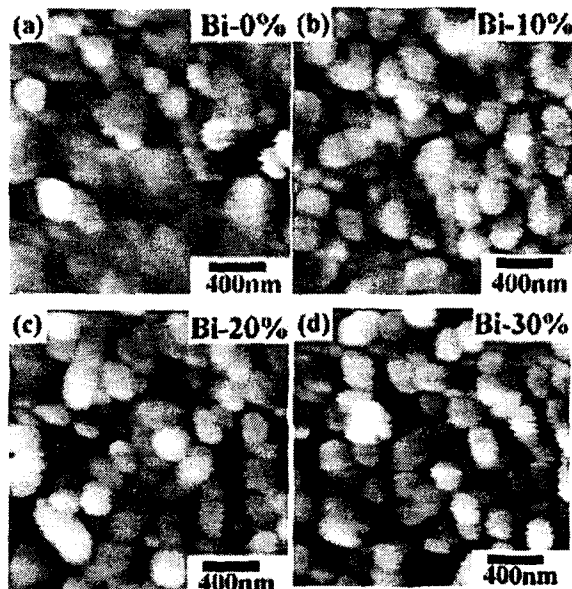


그림 3. Bi 과잉 함량에 따른 BLT 박막의 AFM 표면 사진

Fig. 3. AFM surface of BLT thin films with Bi excess contents.

Bi 과잉 함량에 따른 BLT 박막의 100 KHz에서 측정한 유전상수 및 유전손실을 그림 4에 나타내었다. Bi 과잉 함량이 10% 인 BLT 박막의 경우에 최대 유전상수 값을 나타내었으며, Bi 과잉 함량이 0%, 20% 및 30%인 경우 XRD 및 조성분석에서 확인한 바와 같이 계면 및 표면에 결합 및 저 유전율층이 생성되어 유전상수가 작은 값을 나타낸 것으로 판단된다. Bi 과잉 함량이 10% 인 BLT 박막에서 유전상수 및 유전손실은 각각 326, 0.024의 양호한 특성을 얻었다.

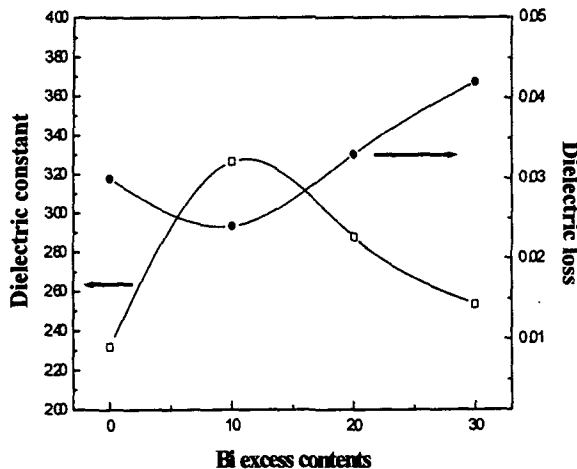


그림 4. Bi 과잉 함량에 따른 BLT 박막의 유전상수 및 유전손실

Fig. 4. Dielectric constant and dielectric loss of BLT thin films with Bi excess contents.

그림 5는 Bi 과잉 함량에 따른 BLT 박막의 이력곡선을 나타낸 것이다. 이력곡선을 측정하기 위해 10 V를 인가하여 측정하였다. Bi 과잉 함량이 10%인 BLT 박막의 경우 최대 잔류분극 값을 나타내었으며, Bi 과잉 함량이 10% 이하 및 이상에서는 잔류분극이 낮은 값을 나타내었다. 이는 Bi-총상 페로브스카이트 구조를 이루는  $(\text{Bi}_2\text{O}_2)^{2+}$  구조의 변화를 주어 낮은 값을 나타난 것으로 판단된다.

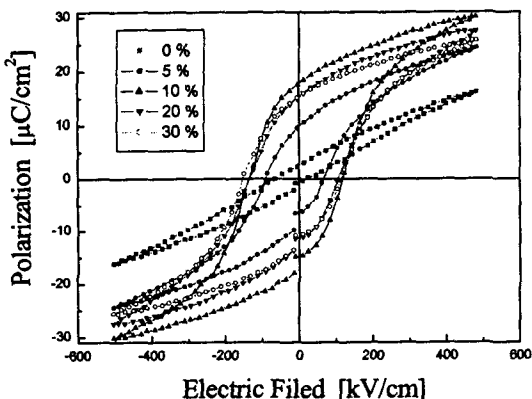


그림 5. Bi 과잉 함량에 따른 BLT 박막의 P-E 이력곡선

Fig. 5. P-E Hysteresis of BLT thin films with Bi excess contents.

그림 6은 Bi 과잉 함량에 따른 BLT 박막의 피로특성은 BLT 박막에  $\pm 5$  V의 펄스파를  $3 \times 10^9$  회까지 인가하여 분극 값의 변화를 조사하였다. 그림 6에서와 같이 Bi 과잉 함량이 증가함에 따라 분극피로에 의한 분극량 감소 현상이 발생하였다. 이는 과잉 첨가에 따른 이차상 및 격자 결합에 의해 나타난 것으로 판단된다.

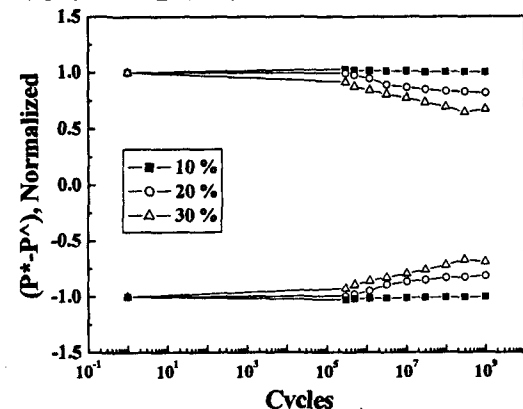


그림 6. Bi 과잉 함량에 따른 BLT 박막의 피로특성 측정

Fig. 6. Fatigue test for the BLT thin films of BLT thin films with Bi excess contents.

#### 4. 결론

본 논문은 MOD법으로 Pt/Ti/SiO<sub>2</sub>/Si 기판 위에 다양한 Bi 함량에 따른 BLT 박막을 제작하였다. BLT 박막은 Bi 과잉 함량이 10% 이상에서 결정화가 되었으며, XRD 분석 결과, 다결정 형태로 성장함을 확인할 수 있었다. Bi 과잉 함량이 10%인 경우에는 화학량론과 일치하는 경향을 나타내었다. Bi 과잉 함량이 10%에서 최대값을 나타내었고, Bi 과잉 함량이 증가함에 따라 잔류분극은 증가하고 Bi 과잉 함량이 10% 이상에서는 다시 감소하는 특성을 나타내었다.

#### 참고 문헌

- [1] J. F. Scott and C. A. Paz de Araujo, Science, Vol. 246, p. 1400, 1989.
- [2] T. Maeder, L. Sagalowicz, and P. Muralt, Jpn. J. Appl. Phys., Vol. 37, p. 2007, 1998.
- [3] Di Wu, Aidong Li, and Tao Zhu, J. Appl. Phys., Vol. 88, p. 5941, 2001.